



A black and white photograph capturing a serene forest scene. In the foreground, a shallow stream flows from the bottom right towards the center, its surface rippling over dark, smooth stones. The water's edge is framed by fallen leaves and branches. The middle ground is dominated by a dense thicket of tall, thin trees, their trunks reaching upwards. Some trees have sparse, bare branches, while others are heavily laden with dark, leafy canopies. The background is a lighter area where more trees are visible, creating a sense of depth. The overall composition emphasizes the natural beauty and tranquility of a woodland environment.

OCHRANA PODZEMNÍCH VOD

MULTIFÁZOVÉ SYSTÉMY FLUID

v horninovém prostředí se mohou vyskytovat 2 i více fluidů, jejichž současná přítomnost výrazně ovlivňuje jejich vzájemné chování

- voda a vzduch
- voda a NAPL
- NAPL a vzduch

NASYCENÍ (SATURACE)

- ukazuje relativní objemové zastoupení fluida v porózním prostředí

$$S_i = \frac{V_i}{V_p}$$

$$\begin{array}{ll} V_i & \text{objem } i\text{-tého fluida} \\ V_p & \text{objem pórů} \end{array}$$

- v multifázových systémech

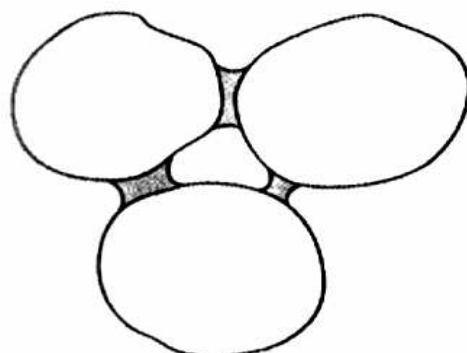
je součet nasycení jednotlivých fluidů roven 1 (např. $S_{vzduch} + S_{DNAPL} + S_{voda} = 1$) - teoreticky

SMÁČIVOST

- tendence jednoho fluida být přitahováno k pevné fázi (hornině) na úkor jiného při současné přítomnosti obou fluid
- vyplývá z podobných fyzikálních vlastností fluida a horniny
- jedinou možností přesného stanovení smáčivosti je změření **kontaktního úhlu ϕ**

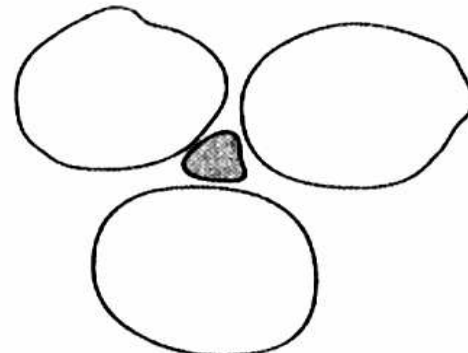
$\phi < 90^\circ$ ($\phi < 70^\circ$) fluidum je smáčející

$\phi > 90^\circ$ ($\phi > 110^\circ$) fluidum je nesmáčející



(a) Pendular Saturation

voda - vzduch - hornina
voda - DNAPL - hornina
voda - **DNAPL** - organická hmota
vzduch - **DNAPL** - hornina



(b) Insular Saturation

smáčivostní charakteristika NAPL
je vždy nejistá

POVRCHOVÉ NAPĚTÍ (NAPĚTÍ NA FÁZOVÉM ROZHRANÍ)

- při kontaktu jednoho fluida s druhým (nebo s pevnou fází) existuje uvnitř fluida vždy volná energie
- vzájemná přitažlivost molekul uvnitř jednoho fluida je větší než k molekulám druhého fluida nebo pevné fáze + distribuce vektorů síly při hladině
- důsledkem je existence hladiny jako „napjaté membrány“
- drobné mince v hrnku s vodou
- hodnoty napětí na fázovém rozhraní σ [dynů/cm, N/m] se pohybují v rozmezí 0 (neomezeně mísitelná fluida) do 72 dynů/cm (0,072 N/m) – povrchové napětí vody
- většina DNAPL má hodnoty σ v rozmezí 0,015 – 0,050 N/m

KAPILÁRNÍ SÍLA (JEVY)

kapilární jevy významně ovlivňují pohyb fluid v multifázovém prostředí

1. definice

$$P_c = \frac{2\sigma}{r}$$

uvažuje závislost
kapilárního tlaku
na kapalině vyplňující póry a hornině

2. definice

$$P_c = P_{nw} - P_w$$

kapilární tlak je možné definovat
i jako rozdíl v tlaku mezi
nesmáčející a smáčející kapalinou

$$P_c = \frac{(2\sigma \cos \varphi)}{r}$$

kapilární tlak, který vytváří pór nebo puklina
vyplněný vodou a brání tak vstupu
jiné - nesmáčející kapaliny (potřebný ke vstupu)

- kapilární tlak je mírou tendence porózního prostředí nasávat smáčející a odpuzovat nesmáčející fluidum
- je obtížné vtlačit nesmáčející fluidum do prostředí s póry vyplněnými smáčejícím fluidem
- čím je menší velikost pórů, tím větší kladou póry odpor vstupu nesmáčející kapaliny
- nesaturovaná zóna – kapilární tlak ve formě záporné tlakové výšky - sukce

NASÁVÁNÍ A DRENÁŽ (IMBIBITION AND DRAINAGE)

- dynamické procesy vytěšňování jednoho fluida druhým

nasávání

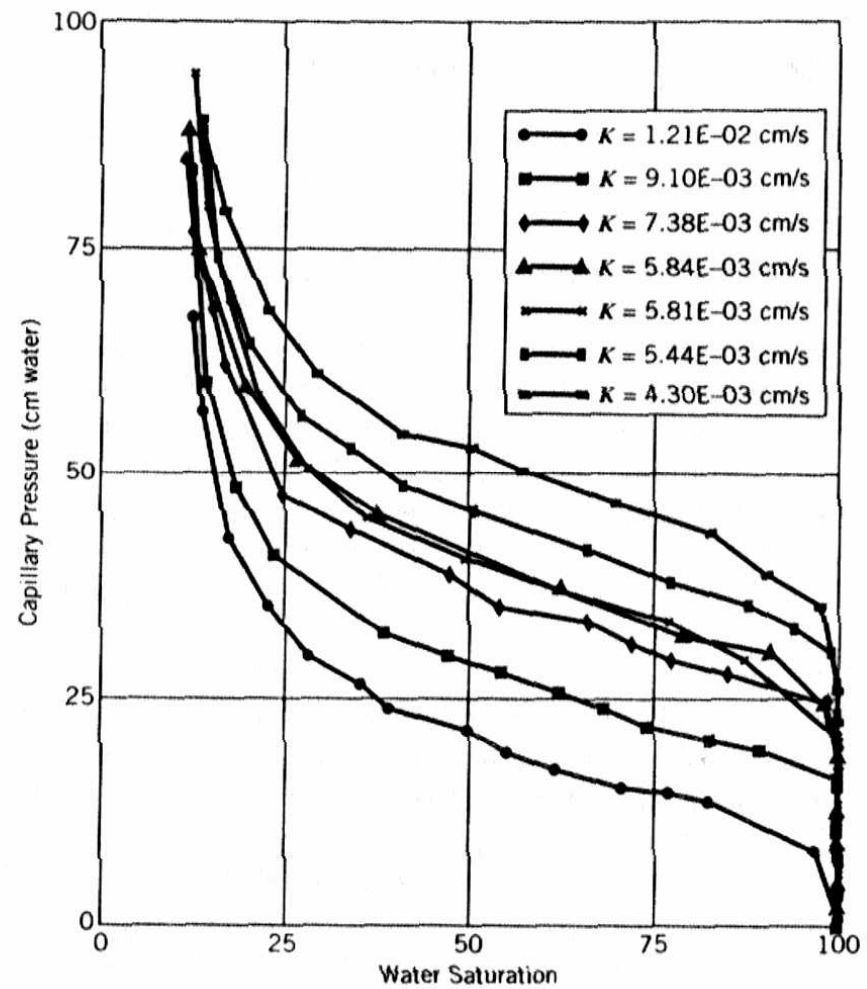
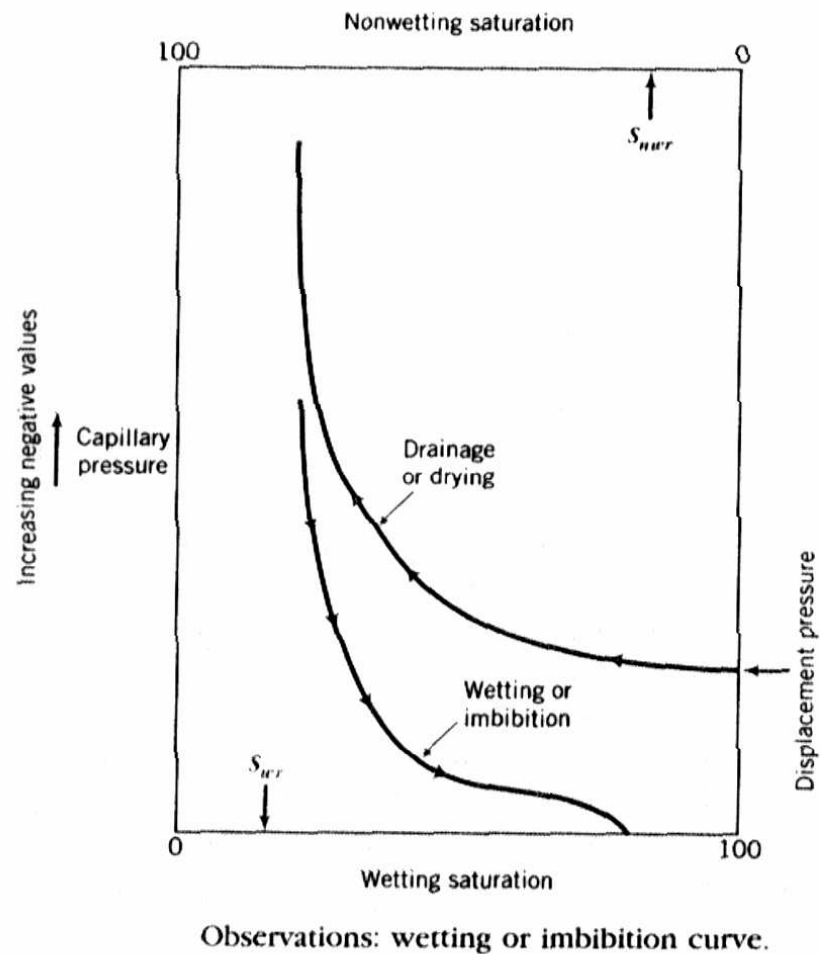
- vytěšňování nesmáčejícího fluida fluidem smáčejícím
- např. infiltrace vody do suché horniny,
vstup vody do vodou smáčeného systému hornina – NAPL

drenáž

- vytěšňování smáčejícího fluida fluidem nesmáčejícím
- např. vstup DNAPL do vodou smáčené horniny s póry vyplněnými vodou

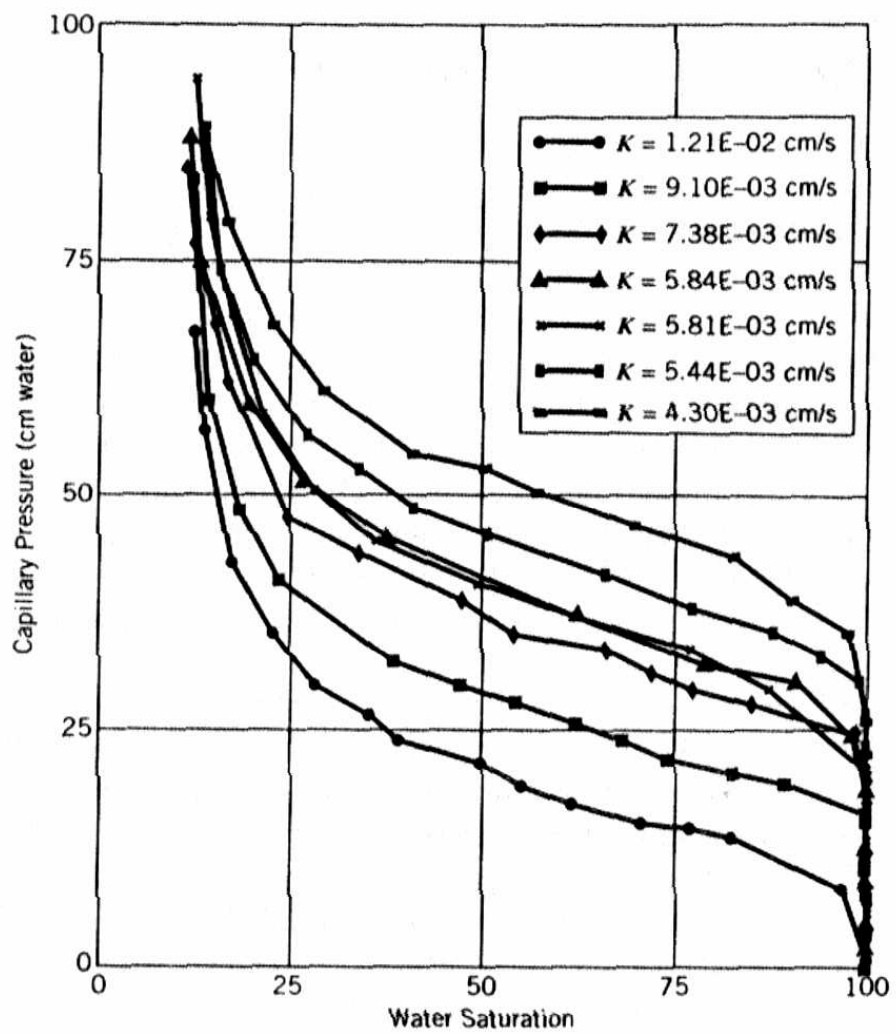
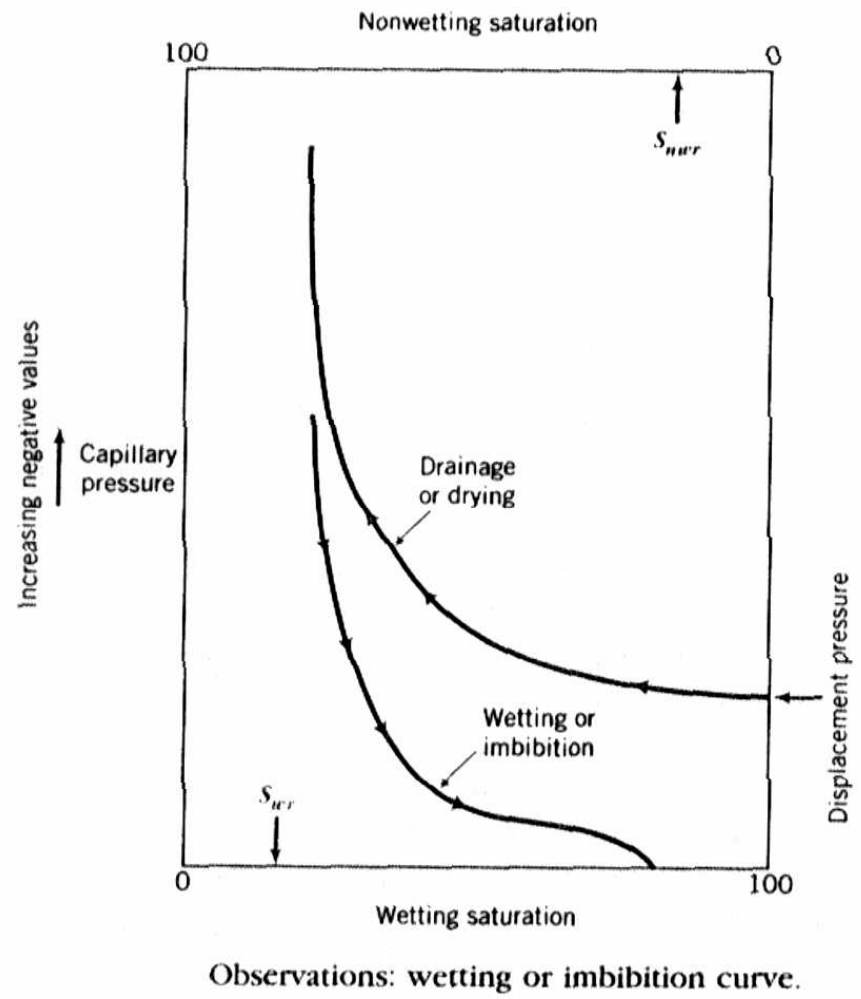
vztahy mezi drenáží a nasáváním jsou pro konkrétní systémy (hornina – smáčející – nesmáčející fluidum vynášeny v tzv. **křivkách kapilárního tlaku**

hystereze křivek



REZIDUÁLNÍ (ZBYTKOVÉ) NASYČENÍ

- ireverzibilní hodnota nasycení horniny fluidem, pokud se fluidum v hornině vyskytovalo
- k poklesu reziduálního nasycení může docházet jinými procesy (rozpuštění, vytěkávání)
- hodnota reziduálního nasycení smáčejícího a nesmáčejícího fluida se může výrazně lišit



VSTUPNÍ TLAK

- hodnota kapilárního tlaku, potřebná ke vstupu nesmáčející kapaliny do prostředí nasyceného smáčející kapalinou
- odečtení z grafu (pro konkrétní vzorky zemin)
- orientační výpočty podle vzorců – φ, σ, ρ, r

PROUDĚNÍ V NENASYCENÉ ZÓNĚ

Nasycená zóna

- pohyb v důsledku změn potenciálu ovlivněných změnami tlaku v pórech a výškou nad srovnávací úrovní
- tlaková výška je kladná, na hladině nulová

Nenasycená zóna

- voda je pod negativním tlakem (tlaková výška < 0) v důsledku adhezních sil – kapilární tlak ψ
- kapilární tlak je funkcí vlhkosti půdy – čím menší vlhkost půdy, tím menší hodnota kapilárního tlaku (větší záporná hodnota) a naopak
- celkový vlhkostní potenciál (energie) je dán součtem tlakového potenciálu (kapilární tlak), gravitačního a ~~osmotického potenciálu~~

$$\phi = \psi(\theta) + z \quad \phi_{EV} = P_c + \rho_w \cdot g \cdot z \quad \phi_{EW} = \frac{P_c}{\rho_w \cdot g} + z = h + z$$

jednotky používané pro vyjádření celkového potenciálu

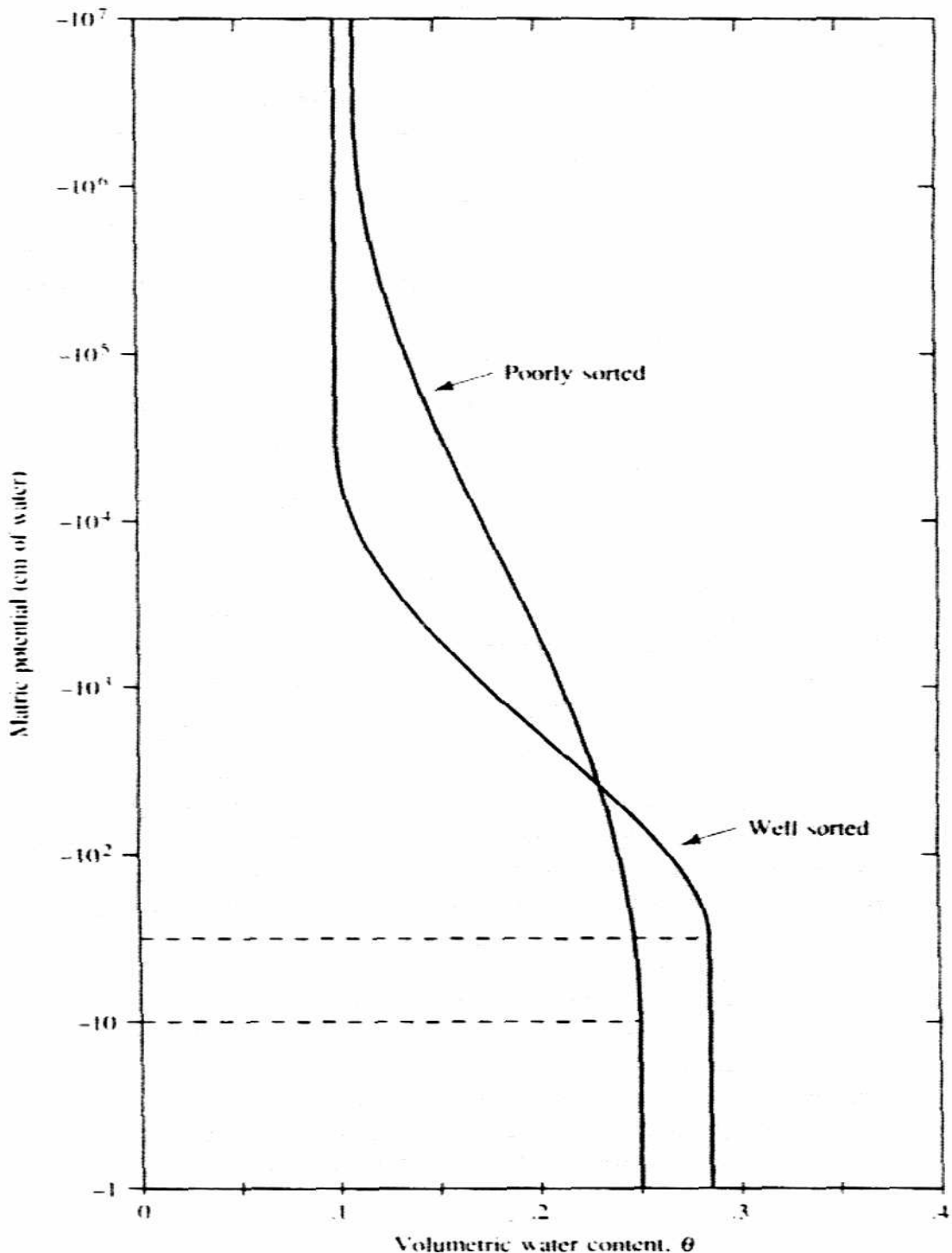
- atmosféry – 1 atm
- pascaly – 1 Pa (kPa)
- centimetry vodního sloupce – h (cm)

$$1 \text{ atm} = 1000 \text{ cm vodního sloupce} = 10^5 \text{ Pa}$$

Křivka kapilární tlak – vlhkost

(soil–water retention curve)

- ukazuje závislost vlhkosti půdy na kapilárním tlaku
- čím je menší vlhkost, tím větší je kapilární tlak
- je vlastností každé zeminy, ve které se vyskytuje smáčející fáze (voda) a nesmáčející fáze (vzduch)
- pro různé zeminy má odlišný tvar (zrnitost, vytřídění sedimentů, apod.)
- podobně existují i křivky pro systémy nesmáčející a smáčející kapaliny (voda a NAPL, NAPL a vzduch, apod.)



Rovnice **Brooks-Corey** vyjadřuje vztah mezi kapilárním tlakem a vlhkostí

- experimentální stanovení na odebraných vzorcích zemin

$$\theta = \theta_r + (\theta_s - \theta_r) \left(\frac{\psi}{\psi_b} \right)^{-\lambda}$$

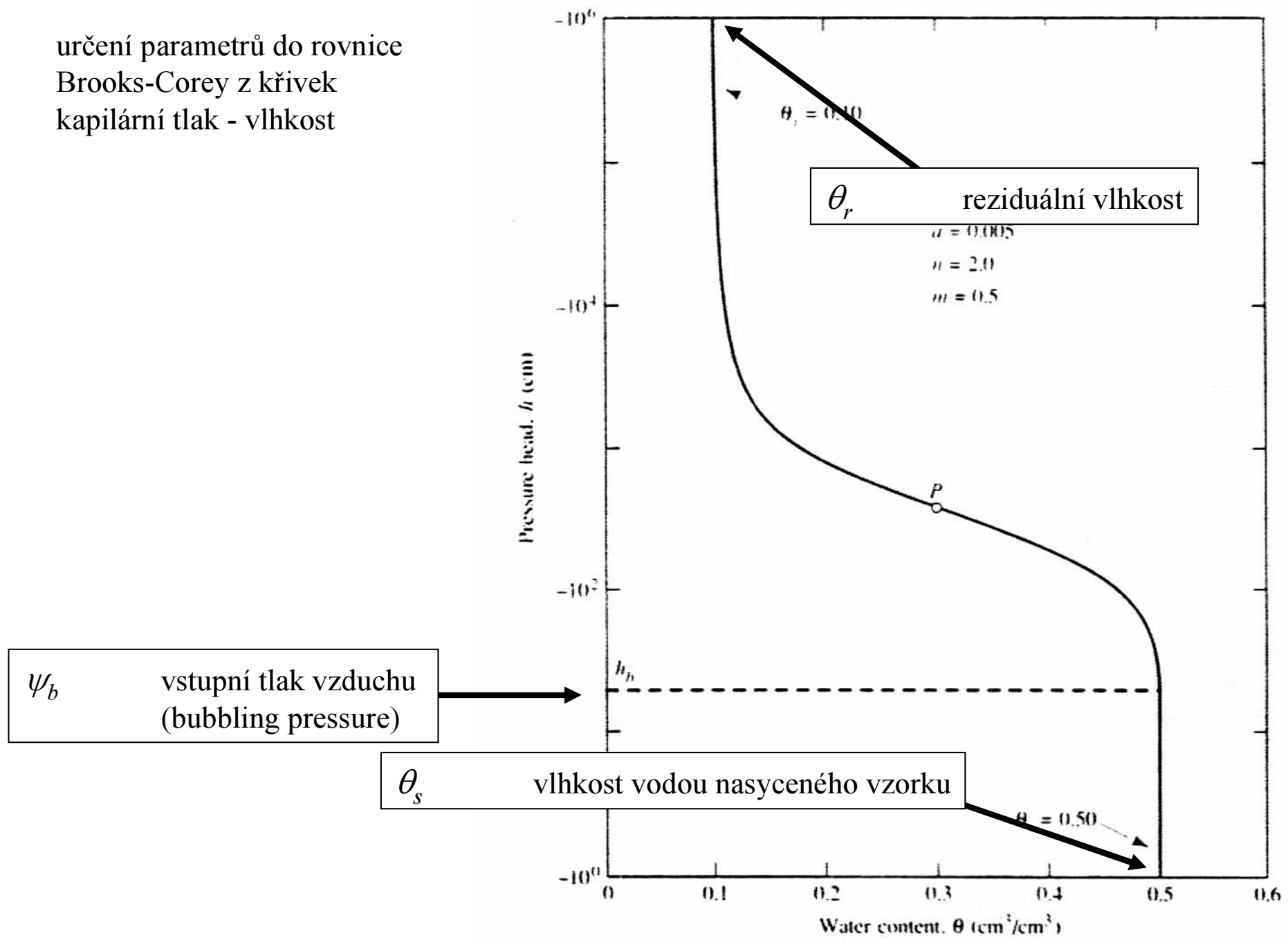
θ	vlhkost
θ_s	vlhkost vodou nasyceného vzorku
θ_r	reziduální vlhkost
ψ	kapilární tlak
ψ_b	vstupní tlak vzduchu (bubbling pressure)
λ	experimentálně odvozený parametr pro daný typ půdy

$$S_e = \left(\frac{S_w - \theta_r}{1 - \theta_r} \right)$$

$$S_w = \theta / \theta_s$$

S_e	efektivní nasycení
θ_r	reziduální vlhkost

určení parametrů do rovnice
Brooks-Corey z křivek
kapilární tlak - vlhkost

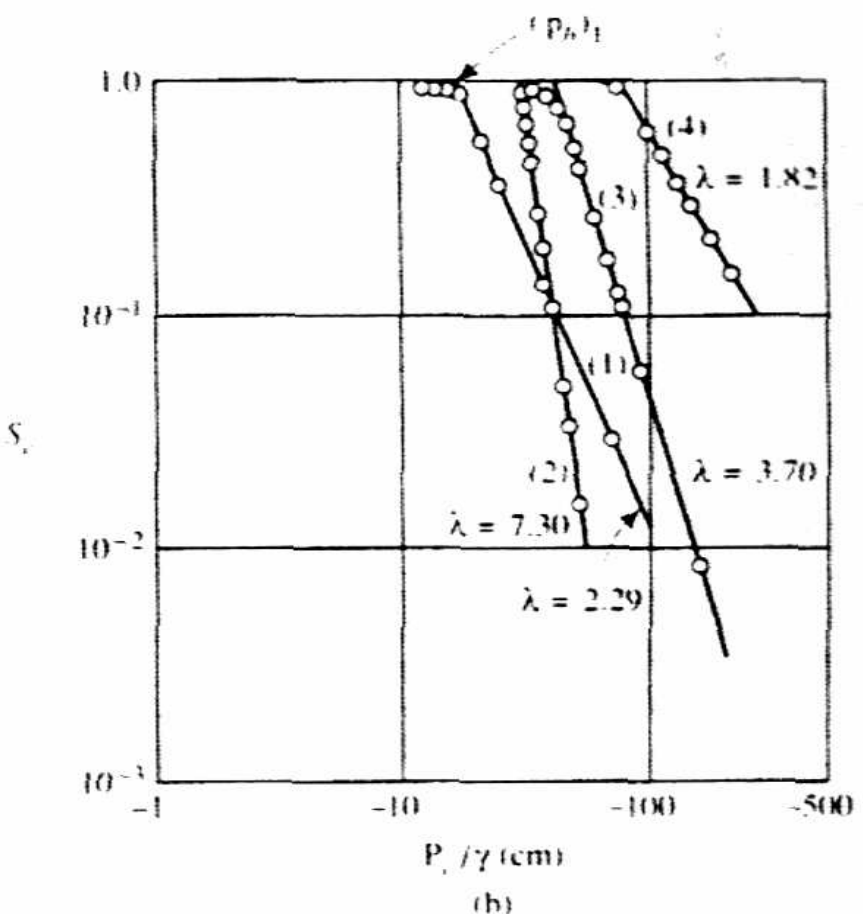
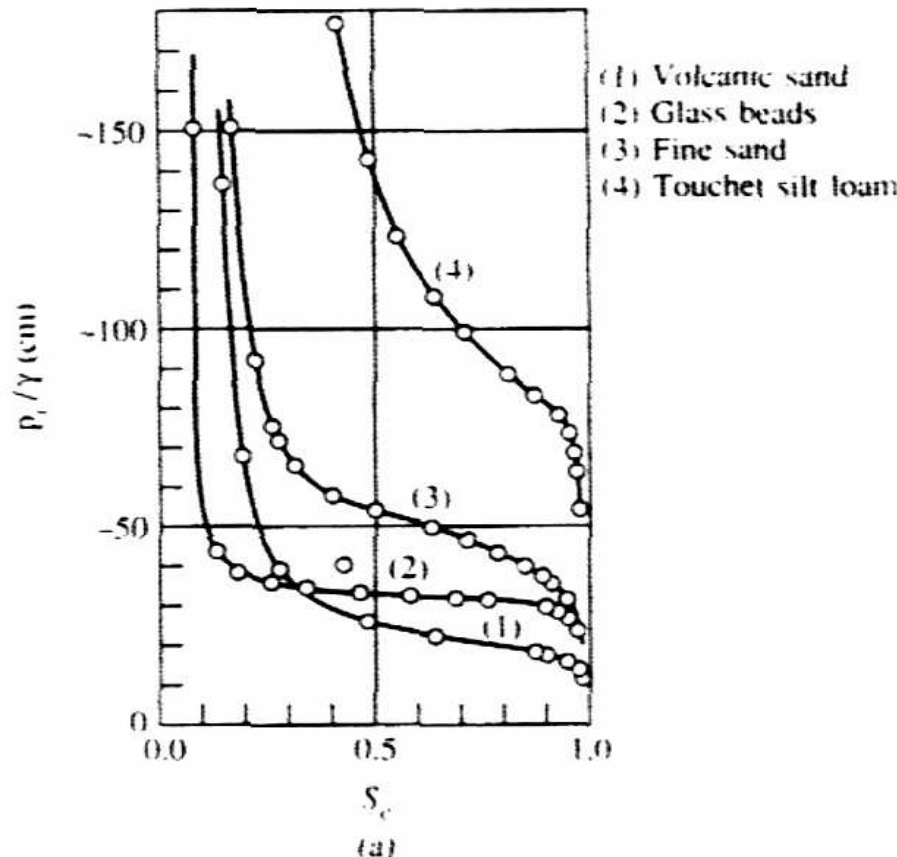


určení parametru λ do rovnice Brooks-Corey

vynesení hodnot změřeného kapilárního tlaku P_c jako podíl P_c/γ (specifická hmotnost vody) proti efektivnímu nasycení

v bilogaritmickém měřítku se křivky promítají jako přímky

sklon těchto přímek odpovídá parametru λ



rovnice van Genuchtena

$$\theta = \theta_r + \frac{\theta_s - \theta_r}{1 + (\alpha |\psi|^n)^m}$$

θ	vlhkost
θ_s	vlhkost vodou nasyceného vzorku
θ_r	reziduální vlhkost
ψ	kapilární tlak
α, m, n	experimentálně odvozené parametry

$$n = \frac{1}{1-m} \quad \alpha = \frac{1}{\psi_b} \left(2^{\frac{1}{m}} - 1 \right)^{1-m}$$

Určení parametrů pro rovnici van Genuchtena

v grafu vyneseme kapilární tlak v logaritmickém měřítku do maximální hodnoty $-15\ 000$ cm vody

odečteme hodnoty θ_s a θ_r (odpovídá tlaku $-15\ 000$)

nalezneme bod P $\theta_P = \frac{\theta_s + \theta_r}{2}$

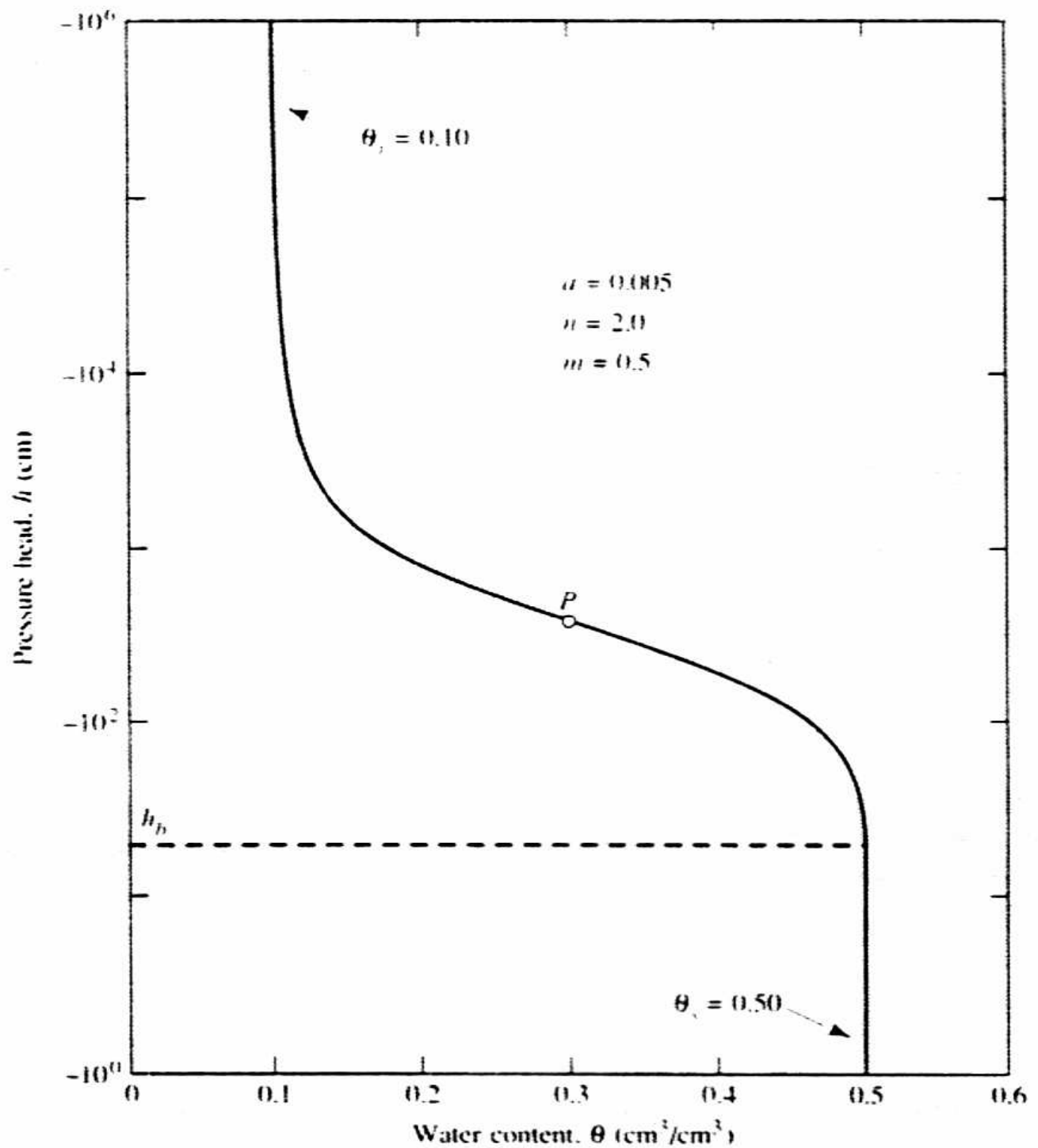
sklon S odpovídá sklonu přímky v bodě P

určíme odpovídající hodnotu bezrozměrného sklonu S_p $S_p = \frac{S}{\theta_s - \theta_r}$

určíme parametr m $1 - \exp(-0,8 \cdot S_p)$ ($0 < S_p \leq 1$)

$$1 - \frac{0,5755}{S_p} + \frac{0,1}{S_p^2} + \frac{0,025}{S_p^3} \quad (S_p > 1)$$

dopočítáme ostatní parametry $-n + \alpha$



KONSTRUKCE KŘIVEK KAPILÁRNÍ TLAK – VLHKOST

vzorek nasycený vodou o známém objemu vody je propojen přes porózní desku s buretou

nasycení porózní desky vodou

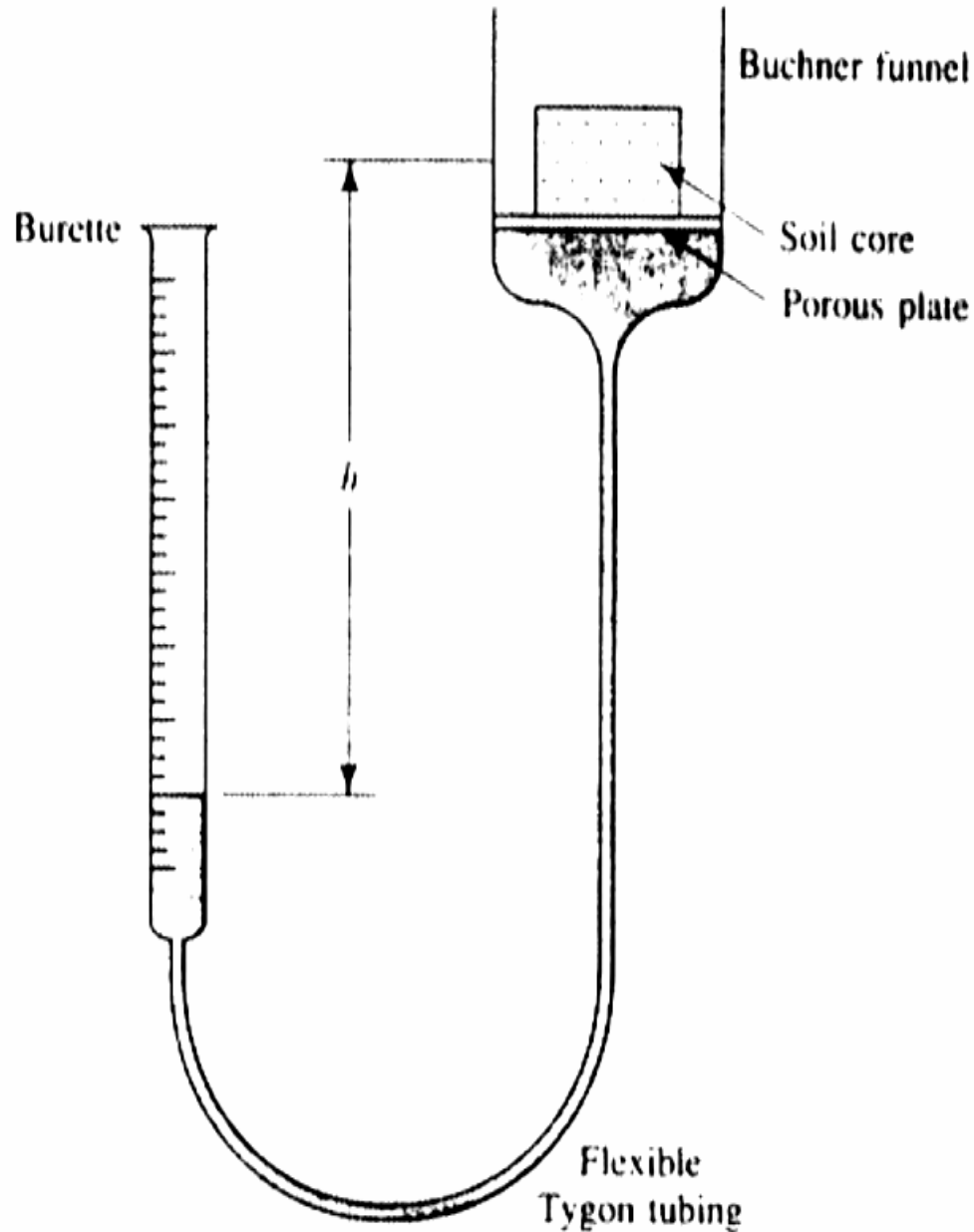
pohyb burety dolů a nahoru vede ke změně tlakové výšky, což způsobuje uvolnění určitého objemu vody

po ustanovení rovnováhy se odečte hodnota

použitelný postup do -300 cm vody

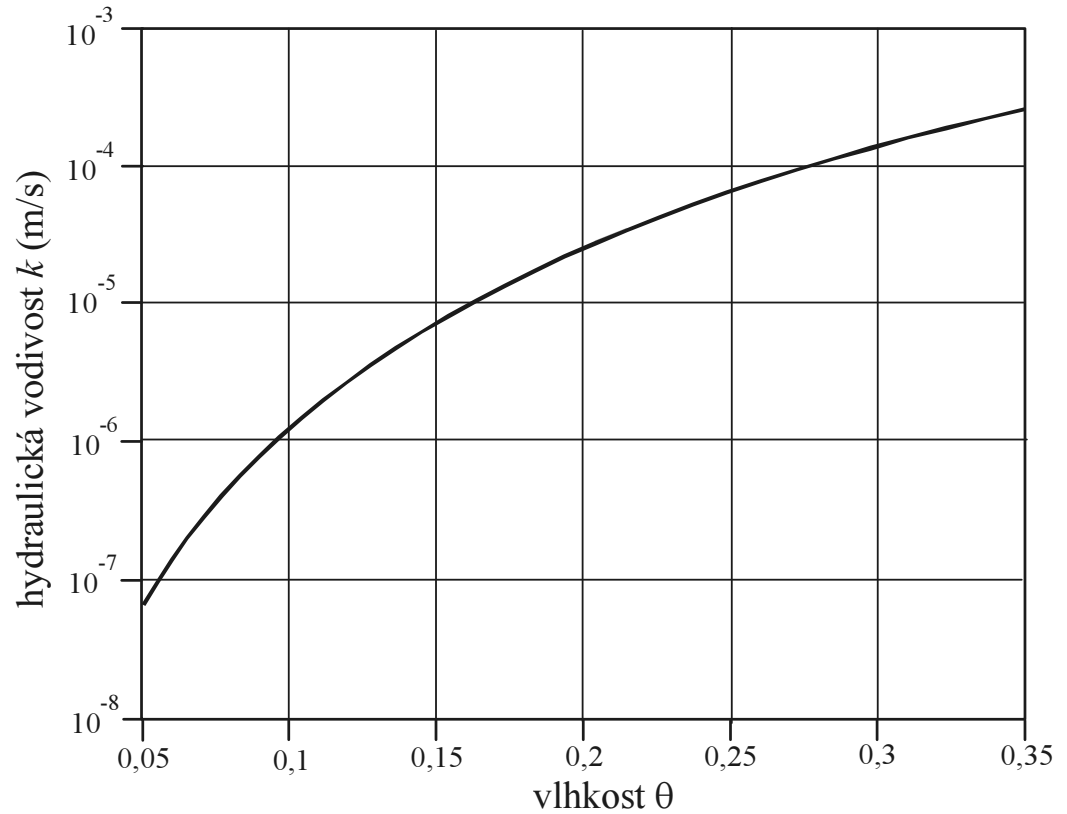
pod -300 cm vody je nutné použít přetlak v prostoru nad nasyceným vzorkem ($0,3 - 15$ atm)

podobné zařízení i pro konstrukci retenčních křivek



Hydraulická vodivost v nesaturované zóně

- je funkcí vlhkosti
- s rostoucí vlhkostí roste hydraulická vodivost a naopak
- křivky jsou pro různé horniny odlišné
- např. pro píska je charakteristický
- výrazný pokles hydraulické vodivosti s poklesem vlhkosti než pro jíly



vzorec pro výpočet hydraulické
vodivosti zeminy v nenasycené
zóně při vlhkosti θ

$$K(\theta) = \frac{k_r(\theta) \cdot k \cdot \rho_w \cdot g}{\mu_w}$$

vzorec pro výpočet hydraulické
vodivosti zeminy v nenasycené
zóně při vlhkosti θ

(podle van Genuchtena)

$$K(\theta) = K_s \cdot S_e^{1/2} \left[1 - \left(1 - S_e^{1/m} \right)^m \right]^2$$

$$S_e = \frac{(\theta - \theta_r)}{(\theta_s - \theta_r)}$$

RELATIVNÍ PROPUSTNOST

- v multifázovém prostředí spolu fluida soupeří o volný prostor (objem póru)
- propustnost prostředí pro jedno fluidum je potom mírou nasycení prostředí tímto fluidem
- platí i v saturované zóně pro systémy NAPL – voda, NAPL – voda – vzduch, apod.

